



بررسی خطر زمین‌لغزش به روش AHP در ساحل دریای خزر، محدوده نوشهر تا رامسر

محمد رسول ستایشی‌راد^۱، محمدرضا نیکودل^{۲*}، علی ارومیه‌ای^۳

دربافت مقاله: ۸۹/۷/۱۸ پذیرش مقاله: ۹۰/۵/۵

چکیده

بر اساس بررسی‌های صحراوی، این منطقه از لحاظ وقوع زمین‌لغزش دارای پتانسیل بالایی می‌باشد و در سرتاسر منطقه می‌توان انواع مختلف حرکات دامنه‌ای را مشاهده نمود. در این مقاله داده‌های ورودی در مدل AHP جهت تحلیل خطر زمین‌لغزش شامل عوامل شیب، زمین‌شناسی، گسل، آبراهه، جهت شیب، ارتفاع، کاربری اراضی و راه‌های دسترسی می‌باشند که با استفاده از نرم‌افزار ArcGIS رقومی گشته و به صورت لایه‌های اطلاعاتی ذخیره شده‌اند. نقشه تهیه شده با استفاده از روش فاصله برابر در ۵ رده خطر خیلی کم، کم، متوسط، زیاد و خیلی زیاد طبقه‌بندی شده است. بررسی نتایج نشان می‌دهد عوامل لیتو‌لوجی، شیب و گسل از جمله مهم‌ترین عوامل مؤثر در وقوع زمین‌لغزش در این منطقه هستند و بیش از ۳۰ درصد از اراضی منطقه در رده خطر بالا قرار دارد.

کلید واژه‌ها: زمین‌لغزش، پهنه‌بندی، مازندران، دریای خزر، تحلیل سلسه مراتبی، مدل AHP

۱. دانشگاه تربیت مدرس، گروه زمین‌شناسی مهندسی

۲. دانشگاه تربیت مدرس، استادیار گروه زمین‌شناسی مهندسی

۳. دانشگاه تربیت مدرس، استادیار گروه زمین‌شناسی مهندسی

* مسئول مکاتبات

مقدمه

مراتبی و در نظر گرفتن عوامل شبیب، جهت شبیب، ارتفاع، زمین‌شناسی، کاربری اراضی و بارش اقدام به پنهانی خطر زمین‌لغزش در منطقه طالقان نموده‌اند. همچنین احمدی و همکاران (۱۳۸۲)، از دو روش رگرسیون چند متغیره و تحلیل سلسه مراتبی جهت پنهانی حرکات توده‌ای در حوضه آبخیز گرمی چای استفاده کرده‌اند. نتایج آن‌ها نشان دهنده دقت بیشتر روش تحلیل سلسه مراتبی نسبت به روش رگرسیون چند متغیره می‌باشد. کلارستاقی (۱۳۸۱)، عوامل زمین‌شناسی، شبیب، جهت شبیب، بارندگی، ارتفاع و کاربری اراضی را برای پنهانی خطر زمین‌لغزش در حوضه آبخیز شیرین رود تجن مورد بررسی قرار داده است. وی در این تحقیق از روش‌های تحلیل سلسه مراتبی، ارزش اطلاعاتی، تراکم سطح و شاخص همپوشانی استفاده نموده است.

منطقه مورد مطالعه

منطقه مورد مطالعه بخشی از زیرحوضه است (شکل ۱). به دلیل موقعیت جغرافیایی، ساختار زمین‌شناسنخانی، اقلیم، خاک، توپوگرافی، پوشش گیاهی و دخالت انسان همواره با خطر زمین‌لغزش مواجه است. پهنه‌ی منطقه، ۱۵ Km از خط ساحلی و مساحت آن تقریباً ۱۵۰۰ کیلومترمربع می‌باشد.

این منطقه به لحاظ آب و هوایی، در ناحیه خزری قرار دارد و مرطوب‌ترین ناحیه کشور است که منبع اصلی رطوبت آن دریای مازندران و توده‌های هوای مرطوب مدیترانه و اقیانوس اطلس می‌باشد. بر اساس آمار سالیانه ایستگاه‌های سینوپتیک، میانگین بارش سالانه در سال ۱۳۸۷ در منطقه بیش از ۱۳۰۰ میلی‌متر بوده است (پایگاه اینترنتی اداره کل هواشناسی استان مازندران).

از نظر زمین‌شناسی، این منطقه در بخش شمال غربی رشته کوه‌های البرز مرکزی واقع شده و به جز بخش کوچکی در گوشه جنوب غربی، دیگر رخنمون‌ها با درختان جنگلی پوشیده شده‌اند. در سواحل دریای خزر، نهشته‌های کواترنر شامل جلگه‌های آبرفتی و مخروط افکنه‌ها که با مزارع و گیاهان پوشیده شده‌اند، دیده می‌شوند و به سوی جنوب، با

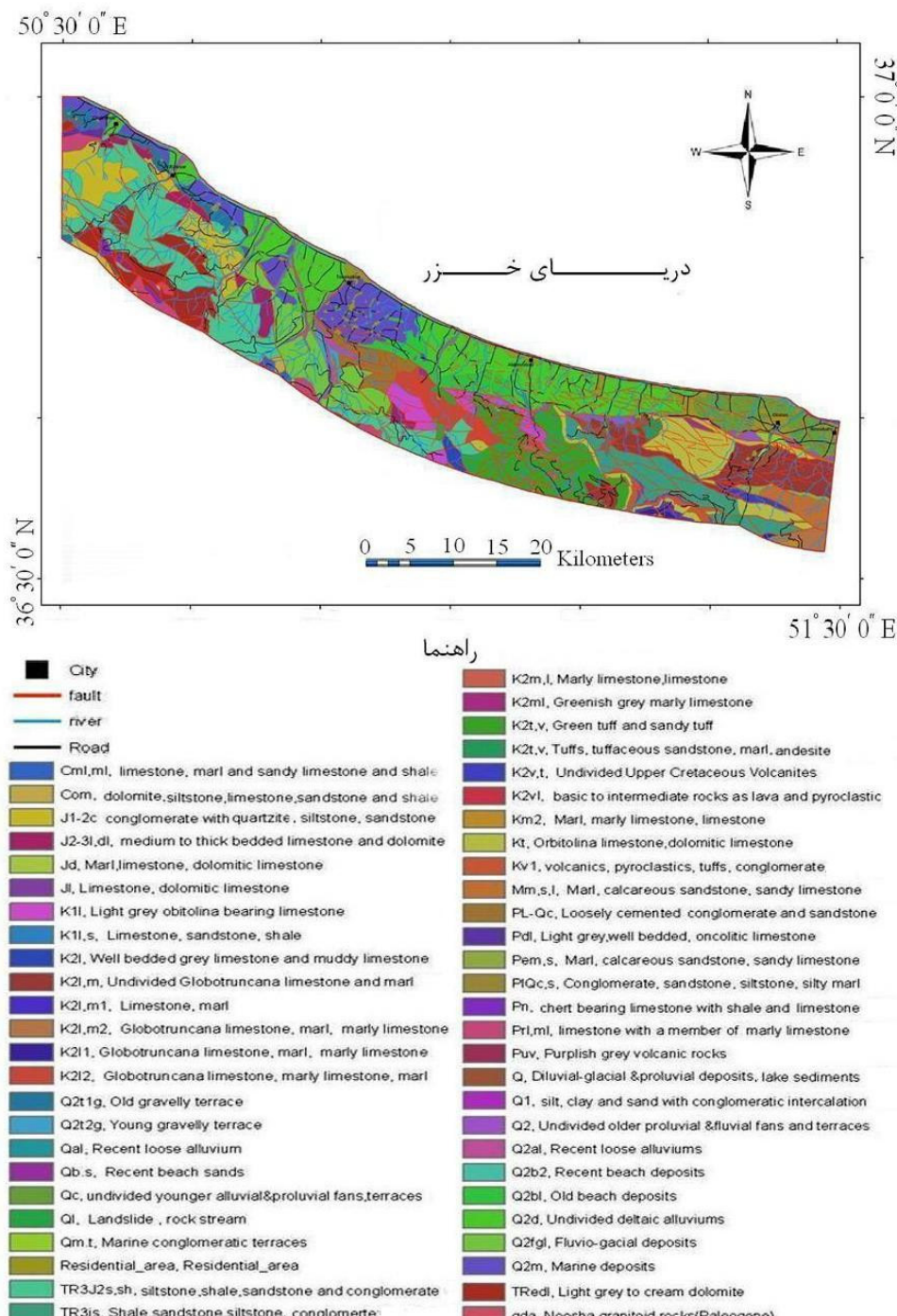
یکی از مهم‌ترین و زیان‌بارترین مخاطرات زمین‌شناسنخانی پدیده زمین‌لغزش می‌باشد. در برخی از کشورها خسارات مالی و جانی ناشی از زمین‌لغزش، بیشتر از دیگر انواع مخاطرات مانند سیل و زلزله می‌باشد (Guzzetti et al., 1999). عنوان مثال در سال ۱۹۶۲ در پرو، ۴۰۰۰ نفر و در سال ۱۹۲۰ در چین، نزدیک به ۲۰۰۰۰ نفر در اثر زمین‌لغزش‌های ناشی از زلزله جان باختند (Chau et al., 2004). از لحاظ رانش زمین سواحل دریایی خزر از اهمیت ویژه‌ای برخوردار است. این مناطق دارای جمعیت قابل توجهی بوده و به دلیل کمبود مناطق هموار، ساخت و ساز مناطق مسکونی در ارتفاعات و دامنه‌ها روز افزون می‌باشد.

تاکنون تلاش‌های زیادی در داخل و خارج از کشور جهت بررسی خطر زمین‌لغزش صورت گرفته و محققین از روش‌ها و همچنین از معیارهای متفاوتی برای رسیدن به این هدف استفاده نموده‌اند.

از جمله: (Yalcin et al., 2008)، پنهانی خطر زمین‌لغزش را با استفاده از ۳ روش تحلیل سلسه مراتبی (AHP)، ارزش اطلاعات و تراکم سطح در ترکیه انجام داده‌اند. نتایج آن‌ها نشان می‌دهد که روش AHP دقت بیشتری نسبت به ۲ روش دیگر دارد. Kamp et al., 2008، با استفاده از سیستم اطلاعات جغرافیایی (GIS) و با استفاده از روش AHP و مقایسه دو به دو، خطر زمین‌لغزش، در شمال پاکستان و هند را بررسی کرده‌اند. آن‌ها ۸ عامل شبیب، زمین‌شناسی، گسل، جاده، ارتفاع، جهت شبیب، کاربری اراضی و آبراهه را به عنوان عوامل مؤثر در وقوع زمین‌لغزش در نظر گرفته‌اند. Komac, 2006، با استفاده از ۲ روش آنالیز چند متغیره و AHP اقدام به پنهانی زمین‌لغزش در اسلوونی نموده است. Yoshimatsu & Abe, 2006، خطر زمین‌لغزش در ژاپن را با استفاده از روش AHP بررسی کرده‌اند. Ayalew et al., 2004، با به کارگیری روش مقایسه دوتایی، وزن‌های نسبی عوامل مؤثر در زمین‌لغزش را تعیین کرده و با استفاده از GIS، نقشه خطر زمین‌لغزش در قسمتی از ژاپن را تهیه کرده‌اند. احمدی و همکاران (۱۳۸۴)، با استفاده از روش تحلیل سلسه

ککنشین دو گسل مهم منطقه هستند. گسل البرز جدائی‌نده کوهپایه و ارتفاعات جنوبی از جلگه شمالی است. چین‌خوردگی‌ها در منطقه، به صورت تاقدیس‌ها و ناویدیس‌ها دیده می‌شوند که عمدتاً با گسل‌ها بریده شده‌اند. به طور معمول شدت چین‌خوردگی‌ها به سوی شمال کاهش می‌یابد و صفحه محوری آن‌ها کم و بیش قائم‌اند.

نهشته‌های کوهپایه‌ای پایان می‌پذیرند. در محدوده رامسر، سنگ‌های پرکامبرین تا سنوزوئیک و در محدوده چالوس، ردیف‌های چینه‌نگاشتی از پرمین تا کواترنر، به جز ائوسن و اولیگوسن رخنمون دارند (درویش‌زاده، ۱۳۸۳؛ سازمان زمین‌شناسی و اکتشافات معدنی کشور). گسل‌های منطقه عمدتاً از نوع راندگی هستند. گسل البرز و گسل ازارک-



شکل ۱- موقعیت زمین‌شناسی منطقه مورد مطالعه

می‌گردد، برای این منظور مجموع امتیازات نرمال شده برای هر ردیف بر تعداد عوامل تقسیم می‌گردد. این میانگین‌ها تخمینی از وزن نسبی عوامل مقایسه شونده را نشان می‌دهند (آذر و رجب‌زاده، ۱۳۸۷).

تخمین نسبت توافق: در این مرحله درست بودن مقایسه‌ها و عملیات تعیین خواهد شد. این مرحله عبارتست از: الف) تعیین بردار مجموع وزنی به وسیله ضرب کردن وزن اولین عامل در اولین ستون ماتریس، سپس ضرب نمودن وزن دومین عامل در دومین ستون، و همین‌طور این کار به تعداد عوامل ادامه یافته و در نهایت جمع نمودن این مقادیر در سطرهای، ب) تعیین بردار توافق به وسیله تقسیم بردار مجموع وزنی بر وزن عوامل که پیشتر تعیین گردید، ج) تعیین λ که برابر با میانگین مقادیر بردار توافق است. د) تعیین شاخص توافق (Consistency Index). عبارت شاخص توافق (CI)، ملاکی برای انحراف از توافق تلقی می‌شود. محاسبه CI مبنای این واقعیت است که λ همیشه بزرگتر یا مساوی تعداد عوامل تحت بررسی (n) است و $n = \lambda$ در صورتی است که ماتریس مقایسه دوتایی یک ماتریس سازگار باشد. بنابراین $\lambda - n$ می‌تواند ملاکی از میزان سازگاری در نظر گرفته شود که با استفاده از رابطه ۱ نرمال می‌شود:

$$CI = \frac{\lambda - n}{n - 1} \quad 1$$

که n برابر با تعداد عوامل می‌باشد.

ه) تعیین نسبت توافق (Consistency Ratio) بر اساس رابطه ۲

$$CR = \frac{CI}{RI} \quad 2$$

نسبت توافق CR، نسبت بین شاخص توافق ماتریس و شاخص تصادفی (Random Index) است که این مقدار بین ۰-۱ تغییر می‌کند. شاخص تصادفی RI میانگین شاخص توافق تعداد زیادی ماتریس است که به صورت تصادفی ایجاد شده‌اند و مقدار آن به تعداد عوامل بستگی دارد (Ayalew et al., 2004). اگر مقدار نسبت توافق به دست آمده کمتر از ۰/۱ باشد، نشانه سازگاری ماتریس مقایسه و قضاوت صحیح

روش تحقیق

روش استفاده شده جهت ارزیابی خطر زمین‌لغزش، فرآیند تحلیل سلسه مراتبی^۴ (AHP) می‌باشد. این روش در سال ۱۹۸۰ به وسیله ساعتی^۵ معرفی شد (نقل از آذر و رجب‌زاده، ۱۳۸۷). از آن‌جا که این فرآیند سازگاری زیادی با نحوه تفکر و فرآیندهای ذهنی انسان دارد و نیز الگوریتم آن بر اساس یک منطق ریاضی بنا شده است، از کارائی فوق العاده بالا برخوردار بوده و استفاده از آن بسیاری از مشکلات تصمیم‌گیری را حل نموده است. در روش AHP، ابتدا مساله را تعریف نموده، و بعد یک سلسله مراتب تشکیل می‌دهیم. در این سلسله مراتب، بالاترین سطح، هدف نهایی تصمیم‌گیری و پایین‌ترین سطح، عوامل مؤثر در هدف نهایی می‌باشد. سپس یک ساختار ماتریسی برای مقایسه هر عامل نسبت به عامل دیگر تشکیل می‌دهیم. مقایسه دو به دو با استفاده از مقیاسی که از اهمیت برابر (۱) تا اهمیت مطلق (۹)، طراحی شده است انجام می‌گیرد (آذر و رجب‌زاده، ۱۳۸۷).

به عنوان مثال اگر یک عامل در مقایسه با عامل دیگر عدد ۱ را کسب کند، نشان‌دهنده تأثیر برابر این دو عامل در وقوع زمین‌لغزش می‌باشد و اگر عدد ۹ را کسب کند، نشان از تأثیر بسیار بیشتر آن در وقوع زمین‌لغزش می‌باشد.

تجربه نشان داده است که استفاده از این مقیاس تصمیم‌گیرنده را قادر می‌سازد تا مقایسه‌ها را به گونه‌ای مطلوب انجام دهد. به همین علت استفاده از این مقیاس در امتیازدهی مقایسه‌ای، به صورت یک مقیاس استاندارد درآمده است (آذر و رجب‌زاده، ۱۳۸۷). بعد از مقایسه دو به دو عوامل، مراحل زیر انجام می‌گیرد:

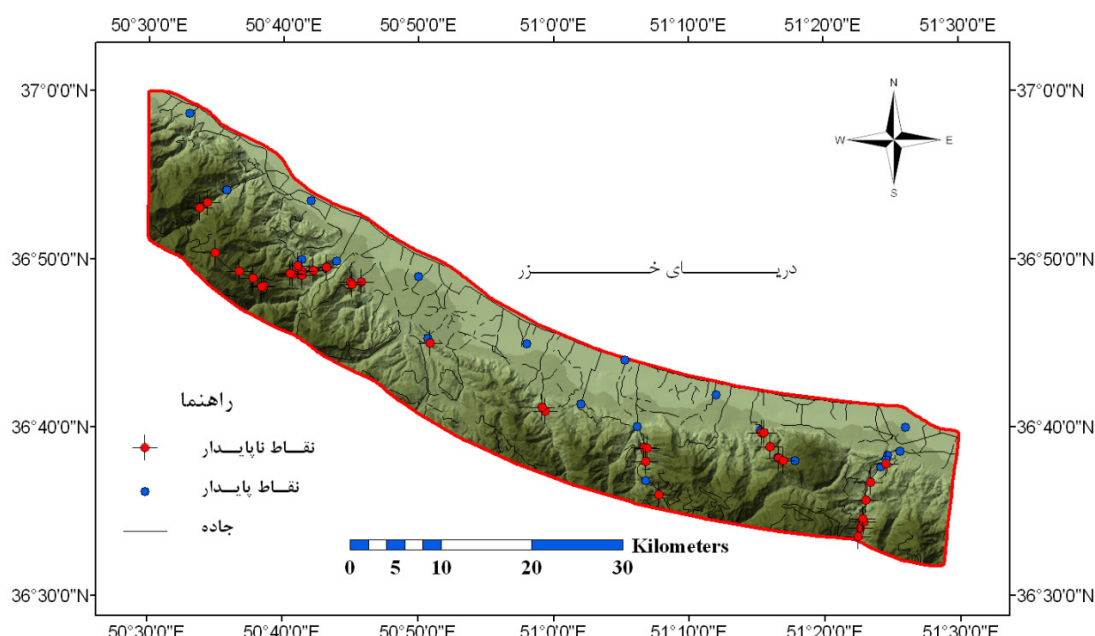
محاسبه وزن عوامل: در این مرحله ابتدا مقادیر هر ستون ماتریس مقایسه دوتایی با هم‌دیگر جمع می‌شوند، سپس هر مولفه ماتریس بر مجموع ستونش تقسیم می‌گردد، ماتریس به دست آمده را "ماتریس مقایسه دوتایی نرمال شده" می‌نامند به گونه‌ای که مجموع هر ستون برابر یک شود. در مرحله بعد میانگین مولفه‌ها در هر ردیف از ماتریس نرمال شده محاسبه

تهیه لایه رقومی، مختصات این نقاط به محیط نرم‌افزار ArcGIS انتقال داده شد و نقشه نقاط مطالعه شده تهیه گردید (شکل ۲). تعدادی از این نقاط پایدار بوده و در بقیه نقاط زمین‌لغزش رخ داده است. دامنه‌های ناپایدار عمدتاً از مصالح سست و فرسایش یافته تشکیل شده‌اند. ضمن اینکه عواملی مانند تغییر کاربری زمین و دستخوردنگی ناشی از احداث جاده‌ها از عوامل مؤثر در ناپایداری هستند. این نتایج می‌تواند در تعیین عوامل مؤثر در وقوع زمین‌لغزش و امتیازدهی به آن‌ها که در مرحله بعد صورت می‌گیرد، مفید واقع گردد. همچنین از این نقاط می‌توان در اعتبارسنجی نقشه نهایی استفاده کرد.

است. اما اگر بزرگتر یا مساوی ۱۰٪ باشد، نشان‌دهنده قضاوت ناسازگار است. در چنین مواردی باید در مقادیر اصلی ماتریس دوتایی تجدیدنظر شود (آذر و رجب زاده، ۱۳۸۷; Malczewski, 1999).

بررسی‌های صحراوی

نقشه پراکنش زمین‌لغزش‌ها، با استفاده از روش‌هایی مانند پیمایش صحراوی، تفسیر تصاویر ماهواره‌ای و عکس‌های هوایی، استفاده از زمین‌لغزش‌های تاریخی و ... تهیه می‌گردد (Nandy & shakoor., 2009). در کل منطقه مورد مطالعه ۶۰ نقطه با بازدیدهای میدانی مورد مطالعه قرار گرفت و مختصات آن‌ها با استفاده از GPS ثبت گردید. سپس برای



شکل ۲- نقشه زمین‌لغزش‌های منطقه و نقاط پایدار مطالعه شده طی بازدیدهای میدانی

داشت، اما معمولاً رسیدن به این هدف به دلیل محدودیت در دسترسی به اطلاعات، مشکل است (Ayalew et al., 2004). ۴ دسته اطلاعات مورد استفاده شامل نقشه‌های توپوگرافی با مقیاس ۱:۵۰۰۰۰، نقشه‌های زمین‌شناسی ۱:۱۰۰۰۰۰، اطلاعات کاربری اراضی و بارندگی منطقه و در نهایت داده‌های عوارض خطی مانند گسل، آبراهه و جاده‌ها که با استفاده از

داده‌ها و لایه‌های اطلاعاتی

تعیین عوامل مؤثر در وقوع زمین‌لغزش در یک منطقه، نیازمند شناخت جامع از فرآیند زمین‌لغزش و شرایط زمین‌شناسی منطقه می‌باشد (Guzzetti et al., 1999). به طور کلی هر چه تعداد عوامل بیشتری در ارزیابی خطر زمین‌لغزش مورد استفاده قرار بگیرد، نتایج آن دقت و اعتبار بیشتری خواهد

انحراف معیار داده‌ها انجام می‌گیرد. چون در این روش از میانگین داده‌ها جهت تعیین مرز رده‌ها استفاده می‌شود، نسبت به روش‌های قبلی ارجحیت بیشتری دارد (Ayalew et al., 2004; Nandy & shakoor., 2009) از دیگر روش‌های طبقه‌بندی استفاده از نمودار فراوانی تجمعی پیکسل‌ها در مقابل ارزش هر پیکسل است. روی این منحنی مناطقی که شبی منحنی تغییر پیدا می‌کند را به عنوان مرز یک رده با رده دیگر در نظر می‌گیرند (فیض‌نیا و همکاران، ۱۳۸۳).

پس از طبقه‌بندی هر یک از لایه‌های اطلاعاتی که در زیر تشریح می‌گردد، امتیازدهی به آن‌ها صورت می‌پذیرد. در روش‌های آماری مانند رگرسیون لجستیک از روش تراکم زمین‌لغزش برای امتیازدهی استفاده می‌شود. در این روش، امتیازدهی به یک عامل، به صورت غیرمستقیم تحت تأثیر دیگر عوامل می‌باشد. در این تحقیق هر عامل به صورت یک عامل مستقل در وقوع زمین‌لغزش در نظر گرفته شده و از یک مقیاس عددی در امتیازدهی استفاده می‌شود. در این روش اساس امتیازدهی بر مبنای اهمیت نسبی هر رده در وقوع زمین‌لغزش می‌باشد. مبنای این امتیازدهی مقیاس ۰ تا ۱ می‌باشد. ولی به دلیل اینکه بازه ۰ تا ۱ کوچک می‌باشد، محققین مختلف جهت تحلیل ساده‌تر از مقیاس‌های بزرگتری استفاده می‌کنند و چون این مقدار در یک عدد ثابت ضرب (Bai et al., 2009)، بنابراین در این تحقیق امتیازدهی با استفاده از مقیاس صفر (مناطقی که احتمال زمین‌لغزش در آن‌ها وجود ندارد) تا ۵ (احتمال زمین‌لغزش بسیار زیاد است) انجام می‌پذیرد. ضمن اینکه امتیاز ۱ احتمال بسیار کم، امتیاز ۲ احتمال کم، امتیاز ۳ متوسط و امتیاز ۴ احتمال زیاد را نشان می‌دهد. نقشه‌های تهیه شده پس از آماده‌سازی به فرمت رستری با قدرت تفکیک ۲۰ متر تبدیل می‌شوند.

شبیب

شبیب یکی از مهم‌ترین عوامل مؤثر در وقوع زمین‌لغزش می‌باشد (Dai & Lee, 2002). در روش‌های پهن‌بندی ارائه شده توسط محققین، تقسیم‌بندی‌های مختلفی برای عامل

نقشه‌های زمین‌شناسی و توپوگرافی تعیین گردید. در مرحله بعد این اطلاعات جهت استفاده در سیستم اطلاعات جغرافیایی (GIS) رقومی گردید. سپس با استفاده از نرم‌افزار ArcGIS Desktop 9.3 زمین‌لغزش شامل لیتلولوژی، شبیب، جهت شبیب، گسل، آبراهه، ارتفاع، راه‌های دسترسی و کاربری اراضی تهیه گردید.

داده‌ها و اطلاعات جمع‌آوری شده پس از تبدیل به نقشه‌های رقومی، طبقه‌بندی خواهند شد. این مرحله یکی از مراحل مهم در تهیه نقشه خطر زمین‌لغزش می‌باشد. عواملی مانند لیتلولوژی، کاربری زمین و یا جهت شبیب بر اساس تقسیم‌بندی‌های مشخص هر لایه و محتويات آن‌ها طبقه‌بندی می‌گردد. در این راستا مشکل اصلی طبقه‌بندی لایه‌های پیوسته (Continuous Data) می‌باشد (Ayalew et al., 2004). جهت انتخاب مناسب‌ترین روش طبقه‌بندی در این تحقیق، به برخی از روش‌های محققین مختلف اشاره می‌گردد. طبقه‌بندی بر اساس قضاوت مهندسی که توسط Guzzetti (1999) استفاده شده است. طبقه‌بندی دو تایی (Binary) که در این طبقه‌بندی (Dai & Lee, 2002) منطقه را به دو گروه دارای زمین‌لغزش و فاقد زمین‌لغزش تقسیم کرده‌اند. از معایب این روش اینست که نمی‌تواند مناطق با خطر کم را از مناطق پر خطر تفکیک کند. طبقه‌بندی Quantile که در این روش فاصله هر رده به صورتی تعیین می‌شود که همه رده‌ها تعداد عوارض یا پیکسل برابر داشته باشند. اشکال این روش اینست که ممکن است تغییرات داده‌ها در هر رده بسیار زیاد باشد (Ayalew et al., 2004). طبقه‌بندی Equal Interval که در آن فاصله بین هر رده برابر است. این روش زمانی مناسب است که هدف از طبقه‌بندی لایه اطلاعاتی، مقایسه آن با لایه دیگری باشد Natural (Nandy & shakoor., 2009). طبقه‌بندی Breaks، این روش زمانی به کار می‌رود که تغییرات ناگهانی در داده‌ها وجود داشته باشد و طبقه‌بندی بر اساس این تغییرات ناگهانی صورت می‌گیرد (Ayalew et al., 2004; Nandy & shakoor., 2009). طبقه‌بندی Standard Deviations در این روش طبقه‌بندی با استفاده میانگین و

و درصد مساحت هر گروه در جدول ۱ ارائه شده است. به واحدهایی مانند شیل، رس و مارن به دلیل مقاومت کم و فرسایش پذیری بالا، بیشترین امتیاز داده شد و واحدهایی مانند سنگ‌های آتشفشاری به دلیل مقاومت بالا، کمترین امتیاز را کسب کردند. لازم به ذکر است که رسوبات ساحلی به دلیل اینکه نمی‌توانند دامنه‌ای تشکیل بدهند، با کسب امتیاز صفر وارد مدل نمی‌شوند.

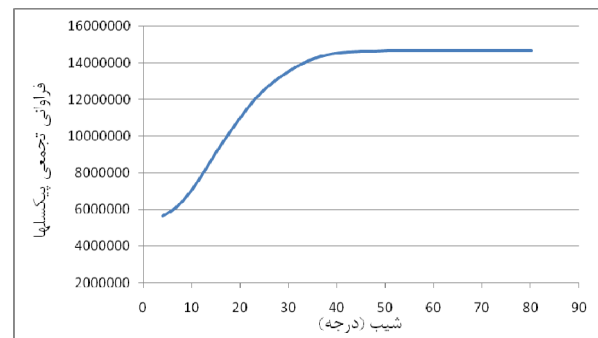
آبراهه

رودخانه‌ها و آبراهه‌ها می‌توانند با تغییر و ایجاد فرسایش در دامنه‌ها، مقدمه وقوع زمین‌لغزش را فراهم آورند (Dai & Lee, 2002). نقشه آبراهه و رودخانه‌های منطقه مطالعه با استفاده از نقشه توپوگرافی و نقشه زمین‌شناسی منطقه تهیه شده است. تراکم بالای آبراهه‌ها علاوه بر فرسایش دامنه، با زیرشوابی و در نتیجه برداشتن تکیه‌گاه دامنه، احتمال وقوع زمین‌لغزش را افزایش می‌دهد (Neaupane & Piantanakulchai, 2006) که این مسئله طی بازدیدهای میدانی اثبات گردید. بر این اساس برای بررسی آبراهه‌ها و تأثیر آن‌ها در ناپایداری دامنه‌ها از تراکم آن‌ها استفاده شده است. بنابراین با استفاده از ابزار Density نرم‌افزار ArcGIS، طبقه‌بندی آبراهه‌ها در ۵ رده و در یک کیلومتر مربع انجام گرفت که بالاترین امتیاز به مناطق با تراکم آبراهه خیلی زیاد تعلق گرفت. جدول ۱ تراکم آبراهه‌ها، توصیف، امتیاز و درصد مساحت آن‌ها را نشان می‌دهد.

گسل

از دیگر عوامل مؤثر در ناپایداری دامنه‌ها، گسل‌ها هستند. عموماً با افزایش فاصله از گسل، احتمال وقوع زمین‌لغزش کاهش می‌یابد (Yilmaz, 2009). این عامل در روش‌های مختلف، تأثیر متفاوت دارد. به عنوان مثال در روش آنبالاگان (1992) رابطه ناپیوستگی ساختاری و شبی و در روش موسسه راه ژاپن (1993) فاصله از گسل مورد توجه قرار گرفته است (نقل از شریعت جعفری، ۱۳۷۵). نقشه گسل‌های منطقه با استفاده از نقشه زمین‌شناسی منطقه تهیه شده است. با

شبی مطرح شده است (به عنوان مثال (Kamp et al., 1992; Pachuri & Pant, 1992; Yilmaz, 2009) شبی منطقه مورد مطالعه با استفاده از مدل ارتفاعی رقومی (DEM) استان مازندران تهیه شده است. جهت طبقه‌بندی آن با توجه به مزايا و معایب روش‌های طبقه‌بندی که بیشتر ذکر گردید، از روش انحراف معیار استفاده شده است. بر این اساس شبی منطقه مورد مطالعه به پنج گروه کمتر از ۱۰ درجه، ۱۰ تا ۲۰ درجه، ۲۰ تا ۳۰ درجه، ۳۰ تا ۴۰ درجه و بیشتر از ۴۰ درجه تقسیم شده است. سپس نمودار فراوانی تجمعی آن نیز رسم گردید که نتایج آن با روش انحراف معیار مطابقت دارد (شکل ۳). با توجه به اینکه بدون توجه به جنس مواد تشکیل دهنده دامنه، با افزایش شبی دامنه، احتمال وقوع زمین‌لغزش نیز بیشتر می‌شود (Pachuri & Pant, 1992) بالاترین امتیاز به دامنه‌های با شبی بیشتر از ۴۰ درجه تعلق می‌گیرد. جدول ۱، امتیاز و درصد مساحت هر رده این عامل را نشان می‌دهد.



شکل ۳- نمودار فراوانی تجمعی پیکسل‌های عامل شبی زمین‌شناسی

لیتولوژی نقش مهمی در وقوع زمین‌لغزش دارد (Neaupane & Piantanakulchai, 2006) بررسی‌های صحراوی مشاهده گردید که تراکم زمین‌لغزش در دامنه‌هایی با مصالح سخت و مستعد فرسایش مانند شیل، رس و ...، بیشتر از دامنه‌هایی است که از مصالح مقاوم مانند سنگ‌های آتشفشاری تشکیل شده‌اند. بر این اساس به دلیل تنوع زیاد واحدهای سنگ‌شناختی منطقه (شکل ۱)، واحدهای مشابه از نظر جنس و چینه‌شناسی در یک گروه قرار گرفتند و یک نقشه زمین‌شناسی با ۶ گروه لیتولوژی تهیه گردید. امتیاز

(Chau et al., 2004) معتقدند که رابطه زیادی بین وقوع زمین‌لغزش و ارتفاع وجود ندارد. به هر حال با توجه به اینکه در این تحقیق هر عامل به صورت یک عامل مستقل در نظر گرفته می‌شود، ارتفاع نیز به عنوان یکی از عوامل مؤثر در وقوع زمین‌لغزش بررسی می‌گردد. نقشه ارتفاع با استفاده از مدل ارتفاعی رقومی منطقه مورد مطالعه، تهیه شده است. بیشترین ارتفاع منطقه، ۲۲۰ متر می‌باشد. طبقه‌بندی ارتفاع نیز مانند عامل شیب صورت گرفته و بر این اساس ارتفاع منطقه به ۶ گروه با فاصله ۲۰۰ متری تقسیم شده است. امتیاز و درصد مساحت هر رده در جدول ۱ ارائه شده است. در امتیازدهی، به مناطق با ارتفاع بیشتر، امتیاز بیشتری داده شده است. ضمن اینکه مناطق با ارتفاع کمتر از سطح آب‌های آزاد، با کسب امتیاز صفر وارد مدل نمی‌شوند.

عامل کاربری اراضی

یکی از عوامل تأثیرگذار در وقوع زمین‌لغزش، کاربری زمین است. در مناطق با کاربری جنگل به دلیل کاهش رطوبت خاک (عامل هیدرولوژی) و وجود ریشه درختان (عامل مکانیکی) احتمال وقوع زمین‌لغزش کمتر است (Neupane & Piantanakulchai, 2006). در حالی‌که در مناطق با کاربری کشاورزی آبی به دلیل افزایش رطوبت ناشی از آبیاری و در مناطق بدون پوشش گیاهی به دلیل فرسایش پذیری بالا احتمال وقوع زمین‌لغزش بیشتر است. نقشه کاربری اراضی منطقه، با استفاده از نقشه تهیه شده توسط وزارت جهاد کشاورزی آمده و با استفاده از تصویر ماهواره‌ای لندست (ETM) مورد بازبینی قرار گرفته است. این نقشه به ۵ گروه مسکونی، کشاورزی دیم، کشاورزی آبی، جنگل و اراضی باир تقسیم شده که بر مبنای توضیحات ذکر شده امتیازدهی شده است (جدول ۱).

جهت شیب

جهت شیب، یکی از عوامل مؤثر در وقوع زمین‌لغزش است (Dai & Lee, 2002). این عامل با تغییر در ویژگی‌های فیزیکی، استعداد شکست دامنه را افزایش می‌دهد. این تغییر

توجه به اینکه سنگ‌های واقع در حریم گسل‌ها، خردشده‌گی زیادی دارند و این خردشده‌گی محل مناسبی را جهت عبور آب‌های سطحی و زیرزمینی فراهم کرده و با ایجاد هوازدگی و فرسایش دامنه باعث کاهش مقاومت دامنه می‌شود، حریم گسل‌ها به پنج گروه ۰ تا ۱۰۰ متر، ۱۰۰ تا ۲۰۰ متر، ۲۰۰ تا ۳۰۰ متر، ۳۰۰ تا ۴۰۰ متر و بیشتر از ۴۰۰ متر تقسیم شده است. امتیاز و درصد مساحت هر رده در جدول ۱ ارائه شده است. در امتیازدهی به این عامل، مناطق با فاصله کمتر از گسل‌ها، بیشترین امتیاز را کسب کرده‌اند.

جاده

احداث جاده موجب تغییر شکل دامنه می‌شود. در اغلب موارد، ناپایداری از قسمت بالای جاده شروع و موجب مسدود شدن جاده می‌شود (Ayalew & Yamagishi, 2005). نقشه جاده‌های منطقه با استفاده از نقشه توپوگرافی و زمین‌شناسی تهیه شده است. جهت تحلیل و بررسی عوارض خطی مانند جاده‌ها، درنظر گرفتن بافرهای ۵۰ متری مناسب تر (Kamp et al., Van Westin et al., 2003; 2008). این امر بر مبنای این واقعیت است که احداث جاده موجب دستخورده‌گی دامنه‌های اطراف جاده می‌شود و بیشترین زمین‌لغزش‌ها در این دامنه‌ها به وقوع می‌پیوندد. با توجه به حریم جاده‌های جنگلی منطقه، بیشترین تراکم زمین‌لغزش‌های اطراف جاده‌ها در فاصله ۵۰ متری از محور جاده‌ها روی می‌دهد. بر این اساس، فاصله از جاده به ۵ گروه ۰ تا ۵۰ متر، ۵۰ تا ۱۰۰ متر، ۱۰۰ تا ۱۵۰ متر، ۱۵۰ تا ۲۰۰ متر و بیشتر از ۲۰۰ متر طبقه‌بندی شده، که با افزایش فاصله از محور جاده، امتیاز کمتری را کسب کرده‌اند. جدول ۱ امتیاز و درصد مساحت هر رده را نشان می‌دهد.

عامل ارتفاع

تأثیر عامل ارتفاع مانند دیگر عوامل مؤثر در وقوع زمین‌لغزش، توسط محققین مختلف یکسان درنظر گرفته نشده است، به عنوان مثال (Ayalew et al., 2004) نقش ارتفاع در وقوع زمین‌لغزش را برابر با شیب درنظر گرفته‌اند اما

واقعیت است که در نیمکره شمالی، دامنه‌های جنوبی مدت زمان بیشتری در معرض آفتاب هستند و نسبت به دامنه‌های شمالی پایدارترند. بنابراین دامنه‌های شمالی و غربی منطقه به دلیل رطوبت بیشتر، امتیاز بیشتری دریافت کرده‌اند. امتیاز و درصد مساحت هر رده در جدول ۱ ارائه شده است.

ویژگی از طریق تابش آفتاب، وزش باد و ریزش‌های جوی می‌سرمی‌شود (Neupane & Piantanakulchai, 2006). نقشه جهت شیب با استفاده مدل ارتفاعی رقومی منطقه، تهیه و به ۵ گروه مناطق هموار، دامنه‌های شمالی، جنوبی، شرقی و غربی تقسیم شده است. امتیازدهی به این عامل بر مبنای این

جدول ۱- طبقه‌بندی عوامل مؤثر بر وقوع زمین‌لغزش در منطقه مورد مطالعه، درصد مساحت و امتیاز آن‌ها

امتیاز					عامل مؤثر
۱	۲	۳	۴	۵	
۱۰-۰	۲۰-۱۰	۳۰-۲۰	۴۰-۳۰	۴۰	بیش از (درجه)
۴۳/۴۴	۲۶/۹۲	۱۹/۱۳	۸/۲۶	۲/۲۵	درصد مساحت
۴۰۰	۴۰۰-۳۰۰	۳۰۰-۲۰۰	۲۰۰-۱۰۰	۱۰۰-۰	فاصله از گسل (متر)
۵۲/۹۸	۸/۱۰	۱۰/۲۰	۱۲/۵۲	۱۶/۲۰	درصد مساحت
۲۰۰	۲۰۰-۱۵۰	۱۵۰-۱۰۰	۱۰۰-۵۰	۵۰-۰	فاصله از جاده (متر)
۶۷/۲۳	۶/۵۸	۷/۶۴	۸/۷۱	۹/۷۴	درصد مساحت
۲۰۰-	۴۰۰-۲۰۰	۶۰۰-۴۰۰	۸۰۰-۶۰۰	۸۰۰	ارتفاع (متر)
۲۷/۲۱	۱۹/۷۳	۱۵/۴۱	۱۲/۱۴	۲۵/۵۲	درصد مساحت
مناطق مسکونی	جنگل	کشاورزی دیم	کشاورزی آبی	اراضی باز	کاربری اراضی
۶/۳۳	۵۸/۸۴	۴/۶۰	۳۲/۱۸	۲/۰۵	درصد مساحت
مناطق هموار	دامنه‌های جنوبی	دامنه‌های شرقی	دامنه‌های غربی	دامنه‌های شمالی	جهت شیب
۱۴/۰۳	۸/۵۰	۲۴/۶۳	۱۲/۴۱	۴۰/۴۳	درصد مساحت
خیلی کم (۰/۴-۰)	کم (۰/۸-۰/۴)	متوسط (۱/۲-۰/۸)	زیاد (۱/۶-۱/۲)	خیلی زیاد (بیشتر از ۱/۶)	تراکم آبراهه‌ها Km/Km^2
۴۳/۶۰	۲۷/۸۸	۱۶/۱۸	۷/۰۲	۵/۳۲	درصد مساحت
توف و سنگ- های آتش‌فشاری	سنگ آهک، دولومیت و دولومیت‌های آهکی	رسوبات دریاچه‌ای، آبرفتی، دریایی، مخروط افکنه	مارن و مارن‌سیلت‌دار	کنگلومرا، شیل، ماسه‌سنگ، سیلت‌سنگ، رس‌سنگ	سنگ‌شناسی
۱۱/۲۳	۱۹/۲۶	۳۶/۴۲	۱۰/۵۶	۲۲/۵۳	درصد مساحت

بنابراین به دلیل تغییر کم بارش در منطقه، تأثیر عامل بارش به عنوان یکی از عوامل مؤثر در وقوع زمین‌لغزش یکسان است و در مدل وارد نمی‌شود. همچنین به دلیل تغییرات کم شتاب لرزه‌ای در منطقه، عامل زلزله نیز وارد مدل نمی‌شود.

طبق آمار سالانه ایستگاه‌های سینوپتیک استان مازندران، میانگین سالانه بارش در سال ۱۳۸۷ در ایستگاه نوشهر (شرق منطقه) ۱۲۶۳ و در رامسر (غرب منطقه) ۱۳۳۰ میلی‌متر می‌باشد (پایگاه اینترنتی اداره کل هواشناسی استان مازندران).

این زمینه از این روش استفاده کرده‌اند تهیه شده است (جدول ۲). سپس با استفاده از روشی که پیش‌تر برای محاسبه وزن‌های نسبی عوامل مختلف ذکر گردید، وزن‌های نسبی هر یک از عوامل به دست آمد که نتیجه آن در جدول ۳ ارائه شده است.

تجزیه و تحلیل اطلاعات

در روش AHP پس از تعیین ساختار سلسله مراتبی با تهیه ماتریس مقایسه، عوامل مؤثر دو به دو مقایسه شده و بر حسب اهمیتی که نسبت به یکدیگر دارند، امتیازی بین $\frac{1}{9}$ تا $\frac{9}{9}$ کسب می‌کنند. برای این منظور ماتریس نسبت 8×8 با استفاده از قضاوت مهندسی و تجربیات دیگر محققین که در

جدول ۲- ماتریس نسبت جهت پنهانی خطر زمین‌لغزش با استفاده از روش AHP

	بُر	آتش‌خواری	گل	آبراهه	ارتفاع	جاده	راه‌های دسترسی	کاربری زمین	جهت شیب
شیب	۱	۱	۲	۴	۵	۶	۵	۷	
لیتولوژی	۱	۱	۲	۴	۵	۶	۵	۷	
گسل	$\frac{1}{2}$	$\frac{1}{2}$	۱	۳	۵	۵	۵	۶	
آبراهه	$\frac{1}{4}$	$\frac{1}{4}$	$\frac{1}{3}$	۱	۴	۲	۲	۴	
ارتفاع	$\frac{1}{5}$	$\frac{1}{5}$	$\frac{1}{5}$	$\frac{1}{4}$	۱	۳	۲	۲	
جاده	$\frac{1}{6}$	$\frac{1}{6}$	$\frac{1}{5}$	$\frac{1}{2}$	$\frac{1}{3}$	۱	۱	۴	
کاربری زمین	$\frac{1}{5}$	$\frac{1}{5}$	$\frac{1}{5}$	$\frac{1}{2}$	$\frac{1}{2}$	۱	۱	۴	
جهت شیب	$\frac{1}{7}$	$\frac{1}{7}$	$\frac{1}{6}$	$\frac{1}{4}$	$\frac{1}{2}$	$\frac{1}{4}$	$\frac{1}{4}$	$\frac{1}{4}$	۱

برای اطمینان از این موضوع که مقایسه‌های صورت گرفته بین عوامل مؤثر، سازگار هستند باید نسبت توافق ماتریس محاسبه شود. مقدار λ برای این ماتریس $8/47601$ و تعداد پارامترها ۸ می‌باشد. بنابراین شاخص توافق (CI) به صورت زیر محاسبه می‌شود.

$$CI = \frac{\lambda - n}{n - 1} = \frac{8.47601 - 8}{7} = 0.068001$$

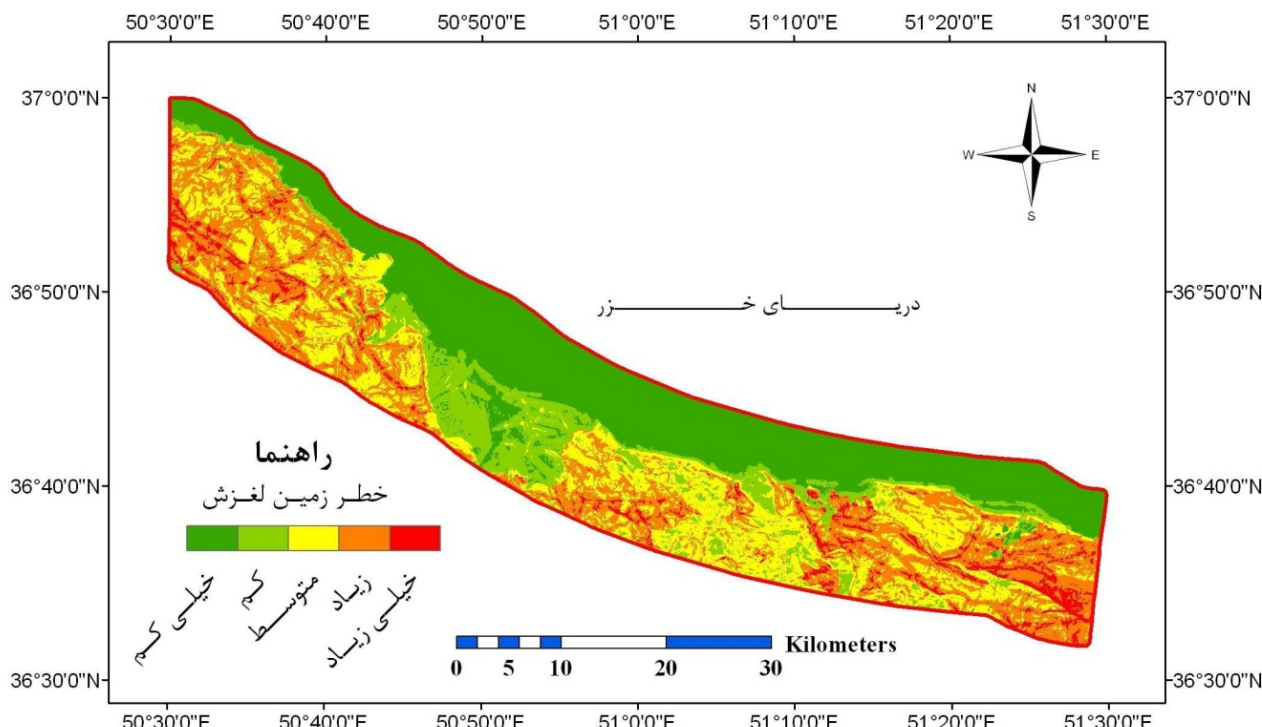
با توجه به اینکه ۸ عامل در ماتریس نسبت درنظر گرفته شده، شاخص تصادفی RI برای این ماتریس $1/41$ می‌باشد (Malczewski, 1999). بنابراین مقدار نسبت توافق CR

جدول ۳- وزن‌های محاسبه شده در روش AHP

پارامتر	عامل مؤثر	وزن نسبی
زمین‌شناسی	واحدهای سنجشناختی	۰/۲۹
	گسل	۰/۱۵۹
ریخت‌شناسی	شیب	۰/۲۶۱
	ارتفاع	۰/۰۳۴
	جهت شیب	۰/۰۲۵
هیدرولوژی	آبراهه	۰/۰۹۱
راه‌های دسترسی	جاده	۰/۰۷
کاربری زمین	کاربری زمین	۰/۰۷

نقشه، با توجه به روش‌های طبقه‌بندی که پیش‌تر ذکر گردید و بر اساس مجموع امتیازاتی که به دست آمده، با استفاده از روش فاصله برابر منطقه به ۵ رده مساوی طبقه‌بندی شده است شکل (۴).

برای این ماتریس ۰/۰۴۸ به دست می‌آید که این مقدار از سطح قابل قبول که ۰/۱ می‌باشد، بسیار کمتر بوده و سازگاری این ماتریس را نشان می‌دهد. در نهایت وزن‌های به دست آمده بر روی عوامل مؤثر اعمال شده و نقشه پهنه‌بندی خطر زمین‌لغزش منطقه تهیه گردیده است. برای طبقه‌بندی این

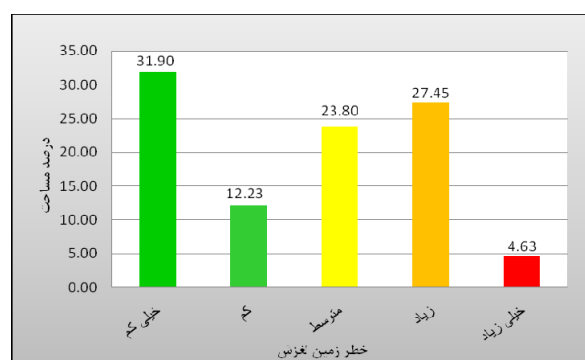


شکل ۴- نقشه پهنه‌بندی خطر زمین‌لغزش با استفاده از روش AHP

ارزیابی نقشه خطر ناپایداری دامنه‌ای در منطقه مورد مطالعه جهت ارزیابی و اعتبارسنجی نقشه پهنه‌بندی تهیه شده، باید این نقشه با نقشه زمین‌لغزش‌های منطقه قطع داده شود (crossing). تراکم زمین‌لغزش، نسبت تعداد زمین‌لغزش در هر یک از رده‌های خطر تعیین شده، به مساحت هر رده خطر می‌باشد (Sarkar & Anbalagan, 2008; Wang, 2008).

بنابراین با استفاده از لایه زمین‌لغزش (شکل ۲)، تراکم زمین‌لغزش در پهنه‌های تعیین شده به دست آمده است. همان‌طور که در شکل ۶ دیده می‌شود با افزایش خطر زمین‌لغزش تراکم زمین‌لغزش نیز زیاد می‌شود. همچنین بین رده‌های خطر تعیین شده، اختلاف تراکم قابل قبول و واضحی وجود دارد.

در شکل ۵ درصد مساحت رده‌های خطر زمین‌لغزش در منطقه آورده شده است.

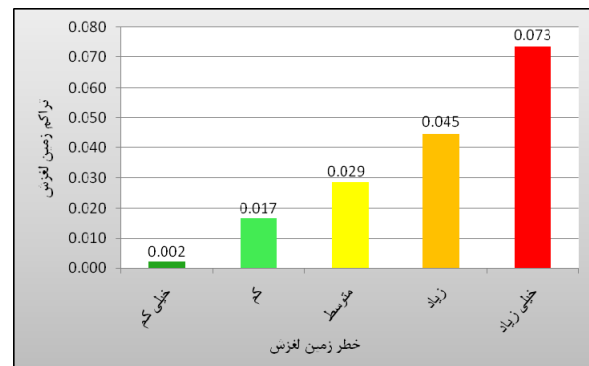


شکل ۵- درصد مساحت رده‌های خطر زمین‌لغزش در منطقه مورد مطالعه با استفاده از روش AHP

نتیجه‌گیری

روش تحلیل سلسله مراتبی، به عنوان یکی از فرآیندهای تصمیم‌گیری چند متغیره، علاوه بر مزیت‌هایی مانند انعطاف‌پذیری، کاربرد وسیع و آسان، مقایسه عوامل به صورت دو به دو، قراردادن اجزای یک سیستم در سطوح مختلف و ... ضعف‌هایی نیز دارد، از جمله می‌توان به تعداد زیاد مقایسه‌ها در مسائل پیچیده و یا دخالت سلیقه شخصی در مقایسه عوامل اشاره کرد.

منطقه مورد مطالعه از نظر وقوع زمین‌لغزش استعداد بالای دارد و بیش از ۳۰ درصد منطقه در رده خطر زیاد تا خیلی زیاد قرار دارد که با شواهد صحراوی منطقه مطابقت دارد. بر اساس نتایج روش AHP، لیتولوژی مهمترین عامل مؤثر در وقوع زمین‌لغزش است که ناشی از گسترش زیاد سازندگانی سست و مستعد فرسایش از جمله سازندگان شمشک است. دومین و سومین عامل مؤثر شب و گسل می‌باشد. ارزیابی و اعتبارسنجی نقشه خطر تهیه شده بر اساس تراکم زمین‌لغزش‌ها و درصد نقاط پایدار، نشان می‌دهد که با افزایش خطر زمین‌لغزش، تراکم زمین‌لغزش بیشتر و درصد نقاط پایدار کمتر می‌شود.



شکل ۶- تراکم زمین‌لغزش در پهنه‌های تعیین شده به وسیله AHP روش

همچنین برای ارزیابی بیشتر، مختصات ۲۲ نقطه پایدار که طی بررسی‌های صحراوی ثبت و مطالعه گردیده با نقشه پهنه‌بندی تهیه شده، قطع داده شده است. نتایج نشان می‌دهد که حدوداً ۷۰ درصد نقاط (۱۵ نقطه) در پهنه‌های با خطر خیلی کم و کم قرار گرفته است (جدول ۴). این نتایج نیز دقت نقشه تهیه شده با استفاده از روش AHP را تایید می‌کند.

جدول ۴- درصد نقاط پایدار و تراکم زمین‌لغزش رده‌های خطر تعیین شده با استفاده از روش AHP

خطر زمین‌لغزش	نقاط پایدار	درصد نقاط پایدار	تراکم زمین‌لغزش
خیلی کم	۱۱	۵۰	۰/۰۰۲
کم	۴	۱۸/۱۸	۰/۰۱۷
متوسط	۲	۹/۰۹	۰/۰۲۹
زیاد	۳	۱۳/۶۴	۰/۰۴۵
خیلی زیاد	۲	۹/۰۹	۰/۰۷۳

منابع

آذر، عادل؛ رجب زاده، علی. ۱۳۸۷، تصمیم‌گیری کاربردی (رویکرد M.A.D.M). انتشارات نگاه دانش.
احمدی، حسن؛ اسماعیلی، اباذر؛ فیض نیا، سادات؛ شریعت جعفری، محسن. ۱۳۸۲، "پهنه‌بندی خطر حرکت‌های توده‌ای با استفاده از دو روش رگرسیون چندمتغیره (MR) و تحلیل سلسله مراتبی سیستم‌ها (AHP)، مطالعه موردی حوزه آبخیز گرمی چای". مجله منابع طبیعی ایران. ۵۶(۴)، ۳۳۵-۳۲۳.

احمدی، حسن؛ محمدخان، شیرین؛ فیض نیا، سادات؛ قدوسی، جمال. ۱۳۸۴، "ساخت مدل منطقه‌ای خطر حرکت‌های توده‌ای با استفاده از ویژگی‌های کیفی و تحلیل سلسله مراتبی سیستم‌ها (AHP)، مطالعه موردی حوزه آبخیز طالقان". مجله منابع طبیعی ایران. ۵۸(۳)، ۱۴-۱۲.

درویشزاده، علی. ۱۳۸۳، زمین‌شناسی ایران: چینه‌شناسی، تکتونیک، دگرگونی و ماگماتیسم. انتشارات امیرکبیر.

سازمان زمین‌شناسی و اکتشافات معدنی کشور، نقشه‌های زمین‌شناسی با مقیاس ۱:۱۰۰،۰۰۰ ورقه رامسر و چالوس.

شريعت جعفری، محسن. ۱۳۷۵، زمین‌لغزش (مبانی و اصول پایداری شبیه‌های طبیعی). انتشارات سازه.

فیض‌نیا، سادات؛ کلارستاقی، عطاءالله؛ احمدی، حسن؛ صفائی، مهرداد. ۱۳۸۳، "بررسی عوامل مؤثر در وقوع زمین‌لغزش‌ها و پهنه‌بندی خطر زمین‌لغزش، (مطالعه موردي حوزه آبخيز شيرين رود-سد تجن)". مجله منابع طبیعی ایران. ۵۷(۱)، ۲۲-۳.

کلارستاقی، عطاءالله. ۱۳۸۱، "بررسی عوامل مؤثر بر وقوع زمین‌لغزش‌ها و پهنه‌بندی خطر زمین‌لغزش در حوزه آبخيز شيرين رود ساري". پایان‌نامه کارشناسی ارشد آبخیزداری، دانشکده منابع طبیعی، دانشگاه تهران.

مهدویفر، محمدرضا. ۱۳۷۶، "پهنه‌بندی خطر زمین‌لغزش منطقه خورش رستم (جنوب غربی شهرستان خلخال)". پایان نامه کارشناسی ارشد زمین‌شناسی مهندسی، دانشکده علوم پایه، دانشگاه تربیت مدرس.

- Ayalew, L., Yamagishi, H., Ugawa, N., 2004. Landslide susceptibility mapping using GIS-based weighted linear combination, the case in Tsugawa area of Agano River, Niigata Prefecture, Japan. *Landslides*. 1, 73-81.
- Ayalew, L., Yamagishi, H., 2005. The application of GIS-based logistic regression for landslide susceptibility mapping in the Kakuda-Yahiko Mountains, Central Japan. *Geomorphology*. 65, 15-31.
- Bai, S. B., Wang, J., Lu, G. N., Zhou, P. G., Hou, S. S., Xu, S. N., 2009. GIS - Based and Data-Driven Bivariate Landslide-Susceptibility Mapping in the Three Gorges Area, China. *Pedosphere*. 19 (1), 14-20.
- Chau, K. T., Sze, Y. L., Fung, M. K., Wong, W. Y., Fong, E. L., Chan, L. C. P., 2004. Landslide hazard analysis for HongKong using landslide inventory and GIS. *Computer and Geosciences*. 30, 429-443.
- Dai, F. C., Lee, C. F., 2002. Landslide characteristics and slope instability modeling using GIS, Lantau Island, Hong Kong. *Geomorphology*. 42, 213-228.
- Guzzetti, F., Carrara, A., Cardinali, M., Reichenbach, P., 1999. Landslide hazard evaluation: a review of current techniques and their application in a multi-scale study, Central Italy. *Geomorphology*. 31, 181-216.
- Kamp, U., Growley, B. J., Khattak, G. A., Owen, L. A., 2008. GIS-based landslide susceptibility mapping for the 2005 Kashmir earthquake region. *Geomorphology*. 101, 631-642.
- Komac, M., 2006. A landslide susceptibility model using the analytical hierarchy process method and multivariate statistics in prialpine Slovenia. *Geomorphology*. 74, 17-28.
- Malczewski, J., 1999. GIS and multicriteria decision analysis. John Wiley & Sons, New York. 408 pp.
- Nandi, A., Shakoor, A., 2009. A GIS-based landslide susceptibility evaluation using bivariate and multivariate statistical analyses. *Engineering Geology*. 110, 11-20.
- Neaupane, K. M., Piantanakulchai, M., 2006. Analytic network process model for landslide hazard zonation. *Engineering Geology*. 85, 281-294.
- Pachauri, A. K., Pant, M., 1992. Landslide hazard mapping based on geological attributes. *Engineering Geology*. 32, 81-100.
- Sarkar, S., Anbalagan, R., 2008. Landslide Hazard Zonation Mapping and Comparative Analysis of Hazard Zonation Maps. *Journal Mountain Science*. 5(3), 232-240.
- Van Westin, C. J., Rengers, N., Soeters, R., 2003. Use of geomorphological information in indirect landslide susceptibility assesment. *Natural Hazards*. 30, 399-419.
- Wang, R., 2008. An Expert Knowledge-Based Approach to Landslide Susceptibility Mapping Using GIS and Fuzzy Logic. Ph.D. thesis, University of Wisconsin-Madison.
- Yalcin, A., 2008. GIS-based landslide susceptibility mapping using analytical hierarchy process and bivariate statistics in Ardesen (Turkey): Comparisons of results and confirmations, *Catena*. 72, 1-12.

- Yilmaz, I., 2009. Landslide susceptibility mapping using frequency ratio, logistic regression, artificial neural networks and their comparison: A case study from Kat landslide (Tokat-Turkey). *Computers & Geosciences*. 35 (6), 1125-1138.
- Yoshimatsu, H., Abe, S., 2006. A review of landslide hazards in Japan and assessment of their susceptibility using an analytical hierachic process (AHP) method. *Landslide*. 3, 149-158.